

# Predição de Óbito Neonatal usando Dados dos Sistemas de Informação do SUS e de Censo Demográfico

Jorge R. H. Moreira<sup>1</sup>, Heder S. Bernardino<sup>1</sup>, Alex B. Vieira<sup>1</sup>

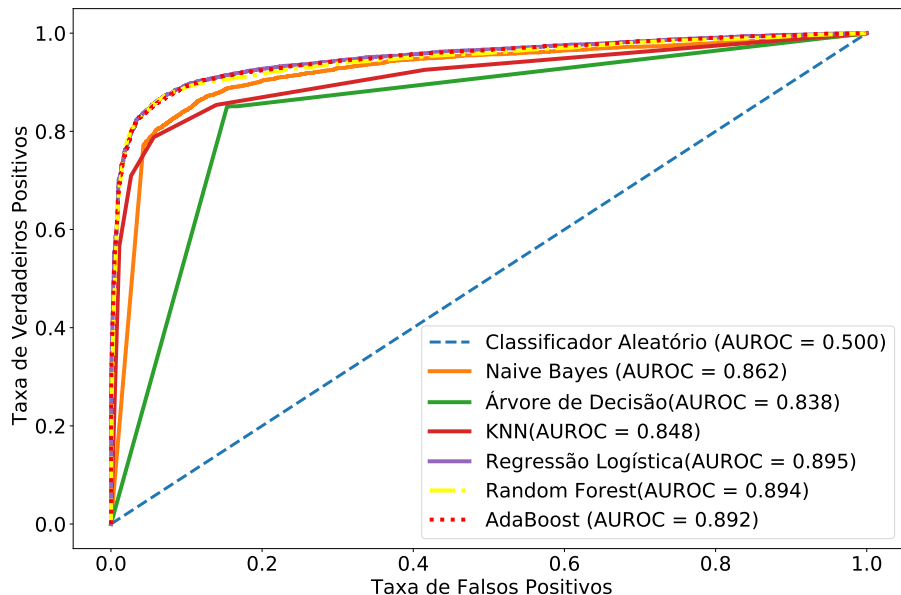
<sup>1</sup> Departamento de Ciência da Computação  
Universidade Federal de Juiz de Fora (UFJF)

{jorge.moreira,heder}@ice.ufjf.br, alex.borges@ufjf.br

## Material suplementar

### 1. Curvas ROC

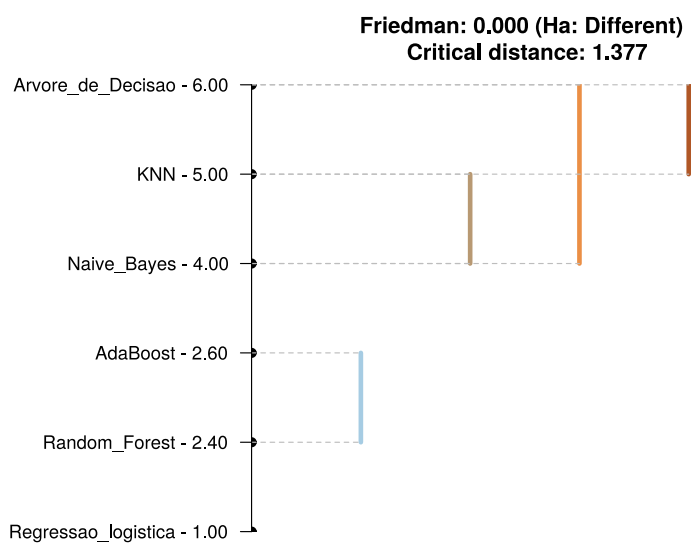
A Figura 1 apresenta as curvas ROC dos classificadores abordados na seção 4 do artigo, visando avaliá-los em relação a variação da sensibilidade e especificidade.



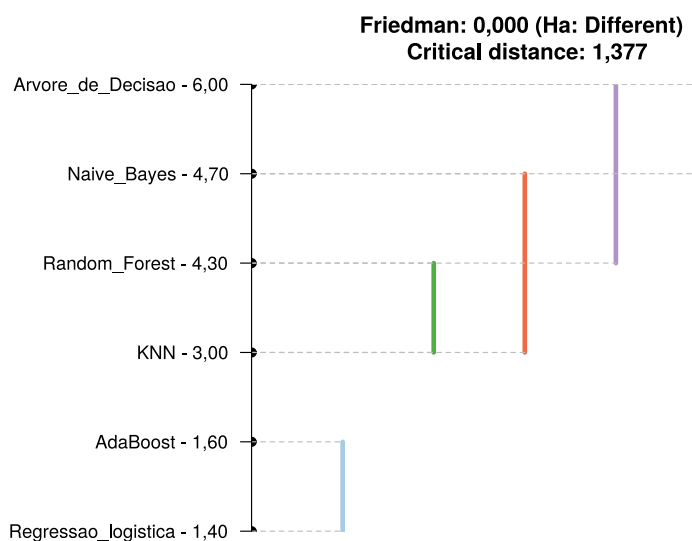
**Figura 1. Curva ROC para todos os modelos avaliados.**

### 2. Teste de Friedman e Nemenyi

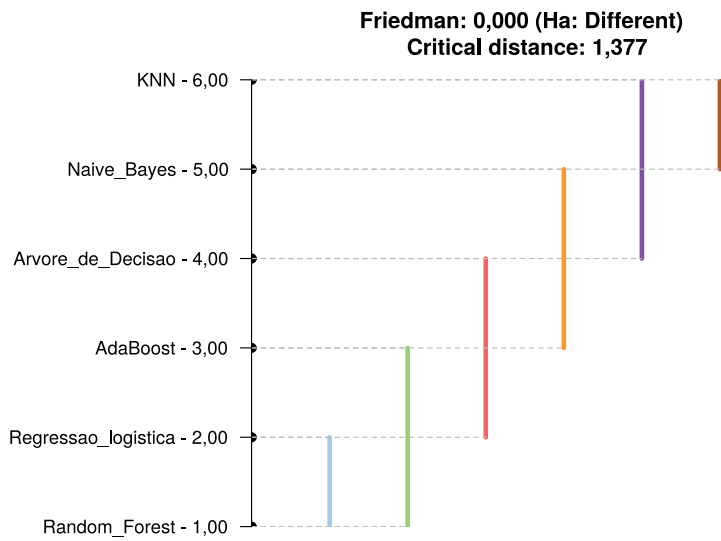
Os resultados dos testes estatísticos de Friedman e Nemenyi são apresentados nas Figuras 2, 3, 4 e 5 para as métricas acurácia, precisão, sensibilidade e *f1-score* respectivamente.



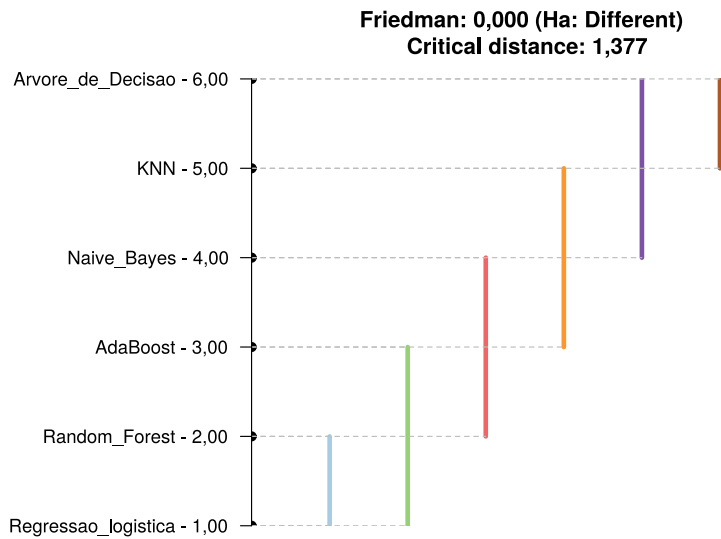
**Figura 2. Acurácia**



**Figura 3. Precisão**



**Figura 4. Sensibilidade**



**Figura 5. F1-score**

### 3. Relevância dos atributos

A seção 5 do trabalho discuti as variáveis mais relevantes para os classificadores que foram avaliados com mais eficientes em termos de acurácia, sensibilidade e *f1-score*. As figuras 6 e 7 mostram respectivamente os resultados para *Random Forest* e Regressão Logística.

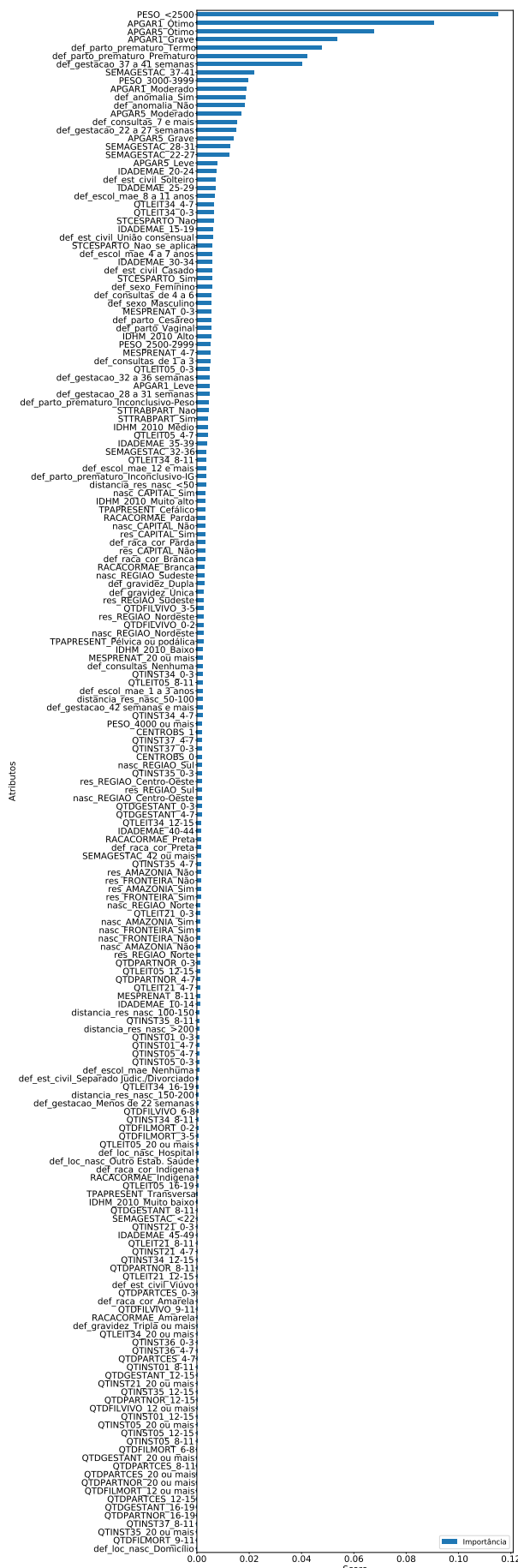


Figura 6. Variáveis mais relevantes extraídas do classificador Random Forest.



**Figura 7. Variáveis mais relevantes extraídas do classificador Regressão Logística.**